

# デルタ関数 (Delta function)

## 1 デルタ関数の定義、性質

デルタ関数の定義

$$x \neq 0 \text{ に対して、} \delta(x) = 0, \quad \text{かつ} \quad \int_{-\infty}^{+\infty} \delta(x) dx = \int_{-\varepsilon}^{+\varepsilon} \delta(x) dx = 1 \quad (1)$$

及び、その性質

$$\int_{-\infty}^{+\infty} f(x) \delta(x) dx = f(0), \quad \text{但し、} f(x) \text{ は任意の連続関数} \quad (2)$$

であり、非常に特殊な関数であることが分かる。デルタ関数の値は  $x = 0$  の一点以外では至る所で零であり、デルタ関数を全領域で積分すれば1になるように、 $x = 0$  では非常に大きくなる。このほかに基本的な性質として以下のようなものがある。

$$\delta(x) = \delta(-x), \quad \text{: 偶関数} \quad (3)$$

$$\delta(x^2 - a^2) = \frac{1}{2a} \{ \delta(x - a) + \delta(x + a) \}, \quad a > 0 \quad (4)$$

$$\delta(ax) = \frac{1}{|a|} \delta(x), \quad a \neq 0 \quad (5)$$

$$\delta(x) = \frac{d}{dx} \Theta(x), \quad \Theta(x) : \text{Step Function (階段関数)} \quad (6)$$

$$\int_{-\infty}^{+\infty} f(x) \delta(x - a) dx = f(a), \quad \text{: Eq.(1) の拡張} \quad (7)$$

定義 **Eq.(1)** を実現する関数は存在しない。この様な、「ある範囲の関数  $f(x)$  を試験的に掛けて積分し、極限をとった結果」を表す記号を超関数 (**distribution**) と呼ぶ。超関数はそれに対する演算が定義されたとき意味を持つ。

## 2 デルタ関数の関数列による表現

デルタ関数は形式的に解析関数の関数列  $\{\varphi_n\}$  の極限として

$$\delta(x) = \lim_{n \rightarrow \infty} \varphi_n(x) \quad (8)$$

と言う形で表現することができる。関数列は次のような性質を備えていなければならない。

1.  $x = 0$  での値は  $n \rightarrow \infty$  と共に単調に増加する一方、 $x \neq 0$  では単調に連続的に零となる。

2. 全領域で積分すると、あらゆる  $n$  に対して

$$\int_{-\infty}^{+\infty} \varphi_n(x) dx = 1 \quad (9)$$

となっていなければならない。

実際には関数列  $\{\varphi_n\}$  は数多く存在するが、今回は以下の二つについて考えることにする。

## 2.1 周期関数を含む場合

デルタ関数としてよく用いられる（周期関数を含む）

$$\varphi_n(x) = \frac{\sin nx}{\pi x}, \quad n \in \mathbf{N} \quad (10)$$

について考える。極限  $\lim_{x \rightarrow 0} \sin x/x = 1$  から、 $x = 0$  での値は

$$\varphi_n(0) = \frac{n}{\pi} \quad (11)$$

で、 $n \rightarrow \infty$  と共に単調に増加し、無限大になる。また  $x \neq 0$  では周期  $2\pi/n$  で振動していて、その振幅は  $|x| \rightarrow \infty$  と共に減衰していくことが分かる。 $n \rightarrow \infty$  では非常に激しく振動することになり、ついに周期  $2\pi/n$  が零になる。更に全領域で積分すると（付録 A「複素積分」の Eq.(22) を参照）、

$$\int_{-\infty}^{+\infty} \varphi_n(x) dx = \int_{-\infty}^{+\infty} \frac{\sin nx}{\pi x} dx = 1 \quad (12)$$

となる。 $n \rightarrow \infty$  では、 $x \neq 0$  の部分の関数は激しく正負に振動しており、この積分にはほとんど寄与してこなくなる。一方で  $x = 0$  の部分の寄与は次第に大きくなるので、Eq.(12) の性質は保たれることになる。

以上から Eq.(10) の関数は  $n \rightarrow \infty$  の極限でデルタ関数の全ての性質を再現するので、

$$\delta(x) = \lim_{n \rightarrow \infty} \frac{\sin nx}{\pi x}, \quad n \in \mathbf{N} \quad (13)$$

とすることができる。

## 2.2 周期関数を含まない場合

デルタ関数として周期関数を含まない、

$$\varphi_n(x) = \sqrt{\frac{n}{\pi}} \exp(-nx^2), \quad n \in \mathbf{N} \quad (14)$$

について考える。 $x = 0$  での値は

$$\varphi_n(0) = \sqrt{\frac{n}{\pi}} \quad (15)$$

で、 $n \rightarrow \infty$  と共に単調に増加し、無限大になる。また  $x \neq 0$  ではその値は指数関数的に急激に小さくなることから、この関数の値はほとんど  $x = 0$  付近にあることが分かる。更に全領域で積分すると（付録 B「ガウス積分公式」の Eq.(23) を参照）、

$$\int_{-\infty}^{+\infty} \varphi_n(x) dx = \sqrt{\frac{n}{\pi}} \int_{-\infty}^{+\infty} \exp(-nx^2) dx = \sqrt{\frac{n}{\pi}} \cdot \sqrt{\frac{\pi}{n}} = 1 \quad (16)$$

となる。

以上から Eq.(14) の関数は  $n \rightarrow \infty$  の極限でデルタ関数の全ての性質を再現するので、

$$\delta(x) = \lim_{n \rightarrow \infty} \sqrt{\frac{n}{\pi}} \exp(-nx^2), \quad n \in \mathbf{N} \quad (17)$$

とすることができる。

### 3 デルタ関数の可視化

先に証明したデルタ関数 Eq.(13),Eq.(17) の関数列  $\{\varphi_n\}$  がデルタ関数に収束する様子をグラフにしてみる。

#### 3.1 Eq.(13) で表される関数列

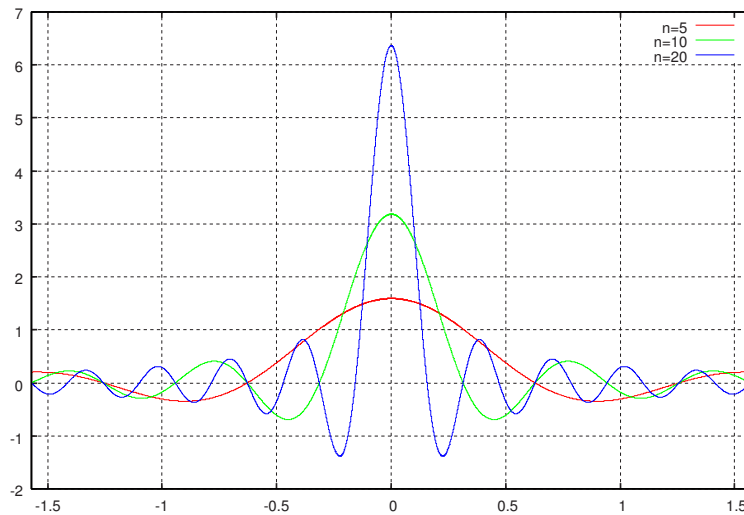


図1  $-\pi/2 < x < \pi/2$   $n = 15, 10, 20$

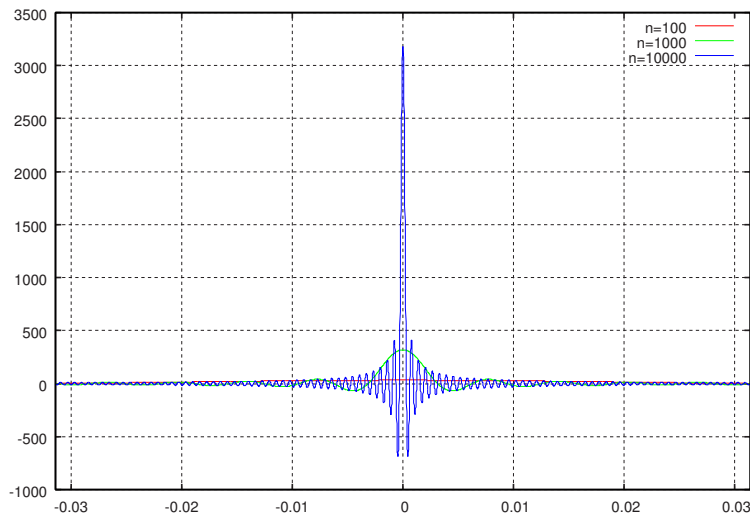


図2  $-\pi/100 < x < \pi/100$   $n = 100, 1000, 10000$

$n$  の値が大きくなるにつれ、振動の波長が短くなり、振動が激しくなる。また  $x = 0$  での値が大きくなっていくのが分かる。更に  $n$  の値を大きくしていくと、 $x = 0$  での値が支配的になる。

次に Eq.(13) を微分したものをグラフにする。

$$\begin{aligned}\varphi'_n(x) &= \frac{nx \cos nx - \sin nx}{\pi x^2} \\ \varphi''_n(x) &= \frac{-2nx \cos nx + (2 - n^2 x^2) \sin nx}{\pi x^3} \\ \varphi'''_n(x) &= \frac{nx(6 - n^2 x^2) \cos nx + 3(n^2 x^2 - 2) \sin nx}{\pi x^4} \\ \varphi^{(4)}_n(x) &= \frac{4nx(n^2 x^2 - 6) \cos nx + (24 - 12n^2 x^2 + n^4 x^4) \sin nx}{\pi x^5} \\ &\vdots \\ &\vdots\end{aligned}$$

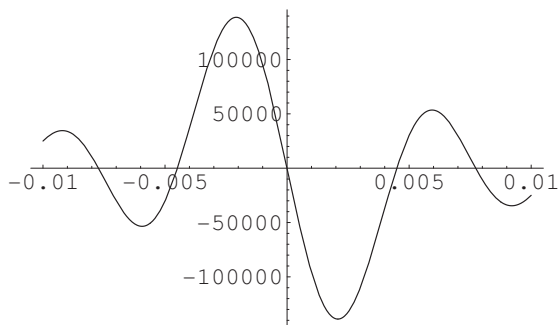


図3 一階微分 ( $n = 10000$ )

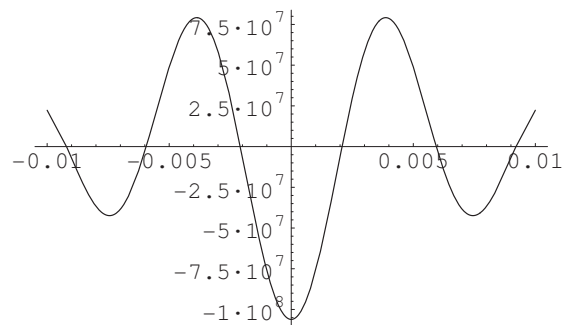


図4 二階微分 ( $n = 10000$ )

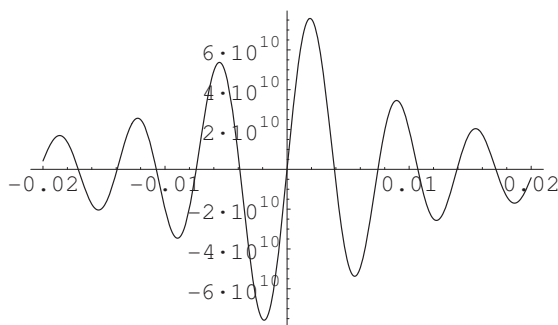


図5 三階微分 ( $n = 10000$ )

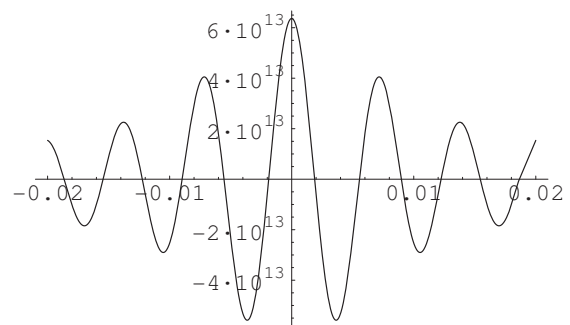


図6 四階微分 ( $n = 10000$ )

微分をする毎にピークとなる箇所が一つずつ増えていくのが分かる（ピークとなる箇所は微分の回数プラス壹個）。しかしピークの数が大きくなるにつれ（微分の階数が大きくなるにつれ）まわりの余分な振幅が邪魔をして、そのピークが見えづらくなってくる。

### 3.2 Eq.(17) で表される関数列

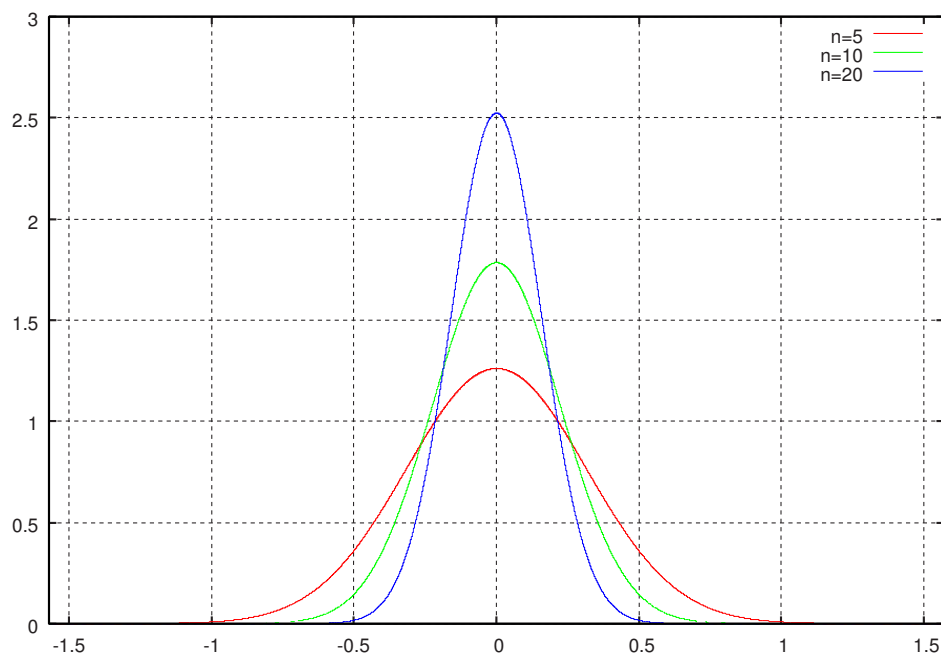


図7  $n = 15, 10, 20$

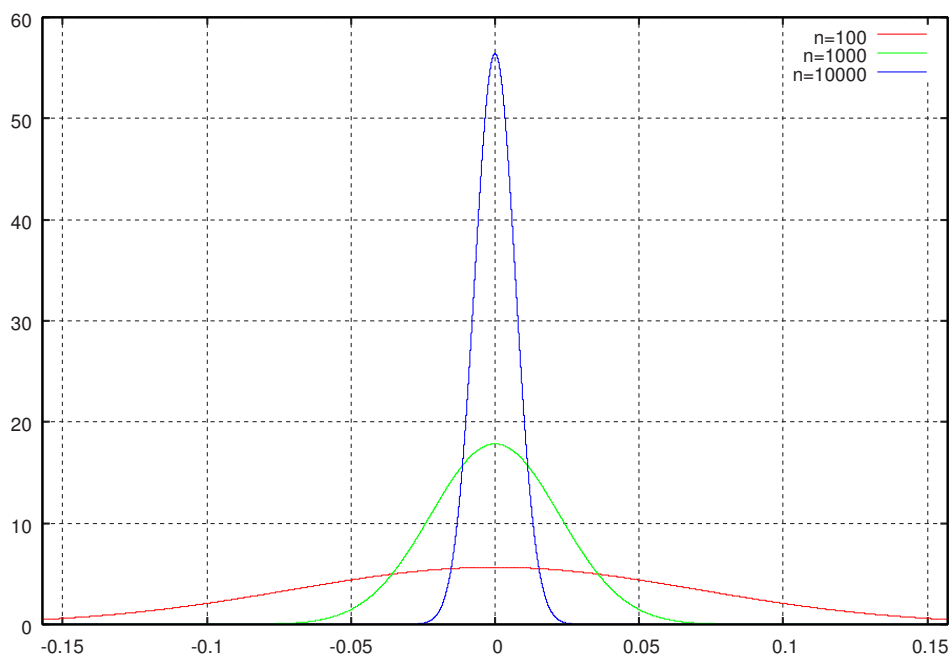


図8  $n = 100, 1000, 10000$

Eq.(13) のときと同様に、 $n$  の値が大きくなるにつれ  $x \neq 0$  での値は無視できる程に小さくなり、 $x = 0$  での値が支配的になるようが分かる。Eq.(13) のときとは違い振動がないが、収束の速度が遅いのが分かる (Eq.(11) と Eq.(15) の違いによる)。

次に Eq.(17) を微分したものをグラフにする。

$$\begin{aligned}\varphi'_n(x) &= (-2nx) \sqrt{\frac{n}{\pi}} \exp(-nx^2) \\ \varphi''_n(x) &= \frac{2n^{\frac{3}{2}}(-1+2nx^2)}{\sqrt{\pi}} \exp(-nx^2) \\ \varphi'''_n(x) &= \frac{-4n^{\frac{5}{2}}x(-3+2nx^2)}{\sqrt{\pi}} \exp(-nx^2) \\ \varphi''''_n(x) &= \frac{4n^{\frac{7}{2}}(3+4nx^2(-3+nx^2))}{\sqrt{\pi}} \exp(-nx^2) \\ &\vdots \\ &\vdots\end{aligned}$$

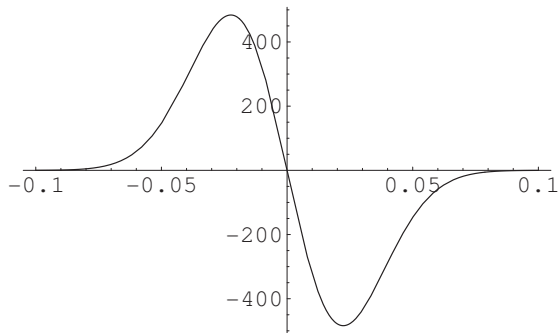


図 9 一階微分 ( $n = 1000$ )

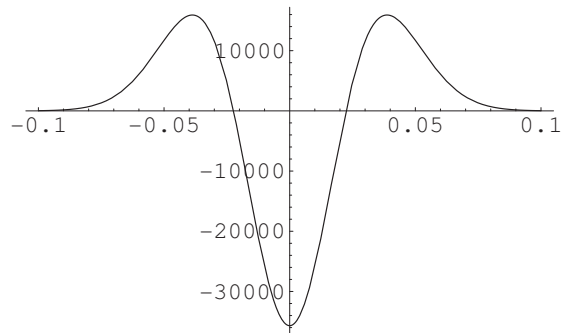


図 10 二階微分 ( $n = 1000$ )

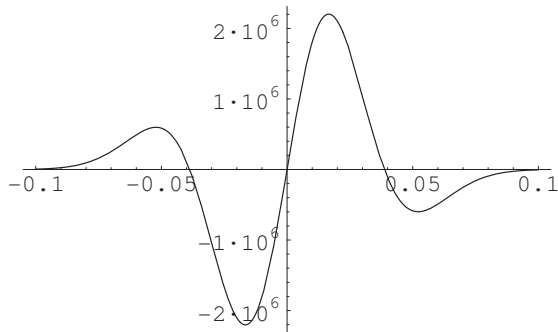


図 11 三階微分 ( $n = 1000$ )

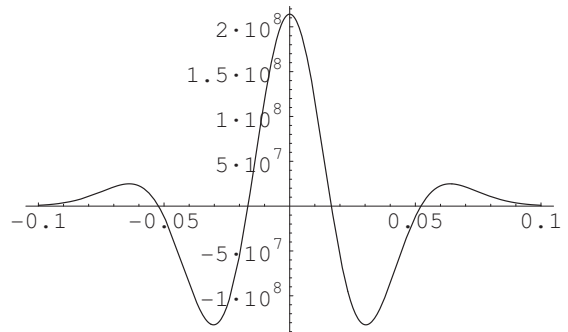


図 12 四階微分 ( $n = 1000$ )

微分についても Eq.(13) のとき同様であるが、振動がないぶんピークがはっきり分かる。しかしその減衰は指数関数的であるから、内側のピークに比べると外側のピークの値は小さくなっている。

## 付録 A 複素積分

積分

$$\int_{-\infty}^{+\infty} \frac{\sin x}{x} dx$$

を求める。

右図のような二つの半円と線分からなるジョルダン曲線を考える。今  $f(z) = e^{iz}/z$  とおくと、

$$f(z) = \frac{e^{iz}}{z} = \frac{1 + z + \frac{z^2}{2!} + o(z^2)}{z}$$

よりこの曲線の内部で  $f(z)$  は正則である。よってコーシー・グルサの定理より

$$\begin{aligned} & \left( \int_{+r}^{+R} + \int_{C_R} + \int_{-R}^{-r} + \int_{C_r} \right) f(z) dz = 0 \\ \Rightarrow & \left( \int_{+r}^{+R} + \int_{-R}^{-r} \right) \frac{e^{iz}}{z} dz = - \left( \int_{C_R} + \int_{C_r} \right) \frac{e^{iz}}{z} dz \quad (18) \end{aligned}$$

が成り立つ。ここで

$$\int_{-R}^{-r} \frac{e^{iz}}{z} dz = \int_{+R}^{+r} \frac{e^{j(-w)}}{-w} d(-w) = - \int_{+r}^{+R} \frac{e^{-iw}}{w} dw = - \int_{+r}^{+R} \frac{e^{-iz}}{z} dz$$

であるから、Eq.(18) の左辺は

$$(\text{左辺}) = \int_{+r}^{+R} \frac{e^{iz} - e^{-iz}}{z} dz = 2i \int_{+r}^{+R} \frac{\sin z}{z} dz \quad (19)$$

となる。

また経路  $C_R$  について

$$\begin{aligned} \left| \int_{C_R} \frac{e^{iz}}{z} dz \right| &= \left| \int_0^\pi \frac{e^{iR(\cos\theta + i\sin\theta)}}{Re^{i\theta}} Rie^{i\theta} d\theta \right| \leq \int_0^\pi e^{-R\sin\theta} d\theta \\ &= 2 \int_0^{\pi/2} e^{-R\sin\theta} d\theta \leq 2 \int_0^{\pi/2} e^{-R(2/\pi)\theta} d\theta \\ &= \frac{\pi}{R} (1 - e^{-R}) < \frac{\pi}{R} \xrightarrow{R \rightarrow +\infty} 0 \quad (20) \end{aligned}$$

となり、経路  $C_r$  に於いては

$$\begin{aligned} \int_{C_r} \frac{e^{iz}}{z} dz &= \int_\pi^0 \frac{e^{ir(\cos\theta + i\sin\theta)}}{re^{i\theta}} rie^{i\theta} d\theta = i \int_\pi^0 e^{ir(\cos\theta + i\sin\theta)} d\theta \\ &\xrightarrow{r \rightarrow 0} -i \int_0^\pi e^0 d\theta = -\pi i \quad (21) \end{aligned}$$

であることが分かる。以上より、

$$\int_0^{+\infty} \frac{\sin x}{x} dx = \frac{\pi}{2}$$

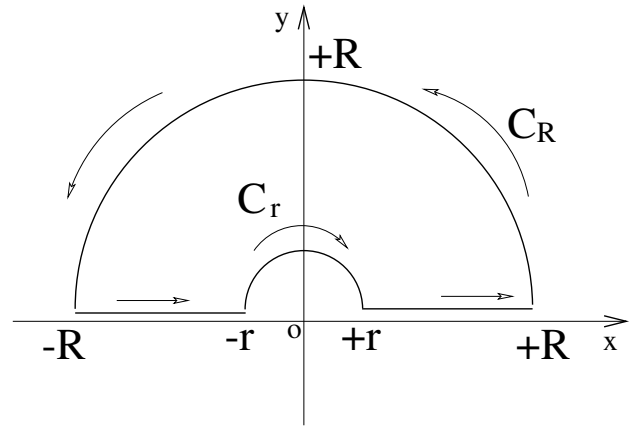


図 13 積分経路

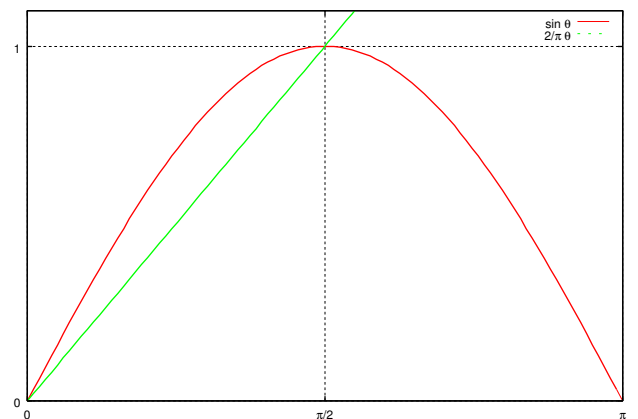


図 14  $\sin \theta \geq 2\theta/\pi$  ( $0 \leq \theta \leq \pi/2$ )

であり、 $\sin x/x$  は偶関数であるから、求めるべき積分は

$$\int_{-\infty}^{+\infty} \frac{\sin x}{x} dx = \pi \quad (22)$$

である。

## 付録 B ガウスの積分公式

$$\int_0^{\infty} x^{2n} \exp(-\lambda x^2) dx = \frac{(2n-1)!!}{2^{n+1}} \sqrt{\frac{\pi}{\lambda^{2n+1}}}, \quad n \in \mathbf{N} \quad (23)$$